

Tadeusz RODACKI

Instytut Podstawowych Problemów
Elektrotechniki i Energoelektroniki
Politechniki Śląskiej

Andrzej DUDA

Instytut Elektrotechniki
WSI Opole

TYRYSTOROWE UKŁADY SZYBKIEJ KOMPENSACJI MOCY BIERNEJ

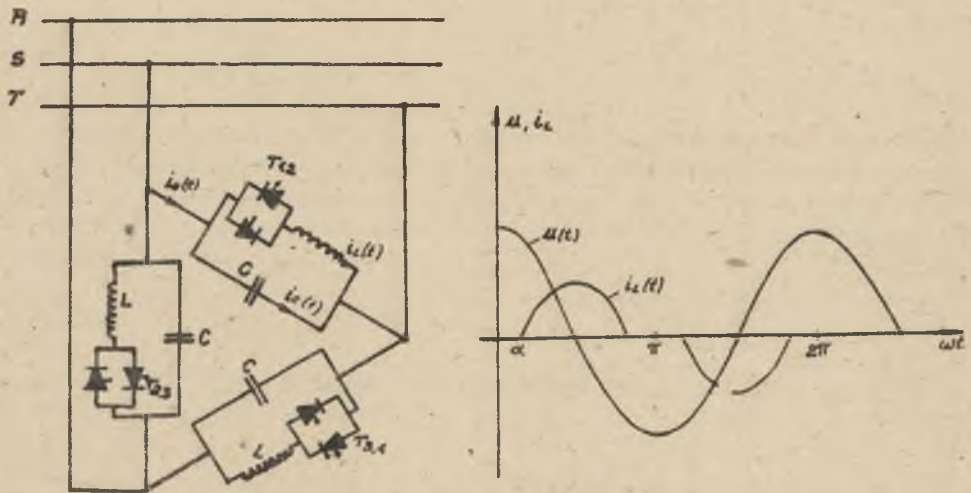
Streszczenie. W artykule omówiono układy kompensacji mocy biernej z tyrystorowo sterowanym dławikiem oraz kompensatory z komutacją wymuszoną. Podano podstawowe zależności opisujące ich pracę i warunki kompensacji mocy biernej.

1. Układ z tyrystorowo sterowanym dławikiem

Układ z tyrystorowo sterowanym dławikiem pozwala na kompensację mocy biernej metodą pośrednią. Polega ona na wytwarzaniu niezmiennej mocy biernej pojemnościowej (równiej maksymalnemu zapotrzebowaniu) przez baterię kondensatorów C i zużyciu części tej mocy zbędnej do kompensacji w równolegle pracującym regulowanym dławiku L. W układzie tym obwody siłowe każdej fazy składają się z baterii kondensatorów, do której równolegle podłączony jest układ składający się z dwóch przeciwrównolegle pracujących tyrystorów i dławika (rys. 1). Każda faza zasilana jest napięciem $u = \sqrt{2} U \cos t$. Przez zmianę kąta wysterowania tyrystorów α_f (liczonego od chwili uzyskania przez napięcie zasilające wartości maksymalnej) w zakresie od 0 do $\frac{\pi}{2}$ uzyskuje się zmianę amplitudy pierwszej harmonicznej prądu, a co za tym idzie możliwość regulacji pobieranej mocy biernej. Amplituda pierwszej harmonicznej prądu fazowego kompensatora $I_{kim}(\alpha_f)$ jest równa różnicy amplitudy prądu kondensatora i amplitudy pierwszej harmonicznej prądu dławika

$$I_{kim}(\alpha_f) = U_m \omega C - I_{L1m}(\alpha_f).$$

Zależność $I_{L1} = f(\alpha_f)$ znajdujemy rozkładając w szereg Fouriera funkcję określającą czasowy przebieg prądu dławika $i_L(t)$.



Rys. 1. Schemat ideowy układu z tyrystorowo sterowanym dławikiem oraz przebiegi napięcia i prądu $i_L(t)$

Ponieważ

$$i_L(t) = \frac{U_m}{\omega L} (\sin \omega t - \sin \alpha),$$

otrzymamy

$$I_{Lm}(\alpha) = \frac{U_m}{\omega L} \left(1 - \frac{2\alpha}{\pi} - \frac{\sin 2\alpha}{\pi}\right).$$

Wartość średnią I_{sr} i skuteczną I prądu płynącego przez jeden tyrystor określają zależności

$$I_{\text{sr}} = \frac{1}{2\pi} \cdot \frac{U_m}{\omega L} \left[2\cos\alpha - (\pi - 2\alpha)\sin\alpha\right],$$

$$I = \frac{U_m}{\omega L} \sqrt{\frac{1}{2\pi} \left(\frac{\pi}{2} - \alpha - \frac{3}{2} \sin 2\alpha + (\pi - 2\alpha)\sin 2\alpha\right)}.$$

Prąd dławika $i_L(t)$ ma dla kątów wysterowania $\alpha \neq 0$ kształt impulsów o długości $(\pi - 2\alpha)$. Z tego względu zawartość wyższych harmonicznych w prądzie dławika zależy od kąta wysterowania tyrystorów. Wartość amplitudy n -tej harmonicznej prądu i_L w stosunku do maksymalnej wartości amplitudy prądu dławika (dla $\alpha = 0$) można dla danego kąta α obliczyć z równania

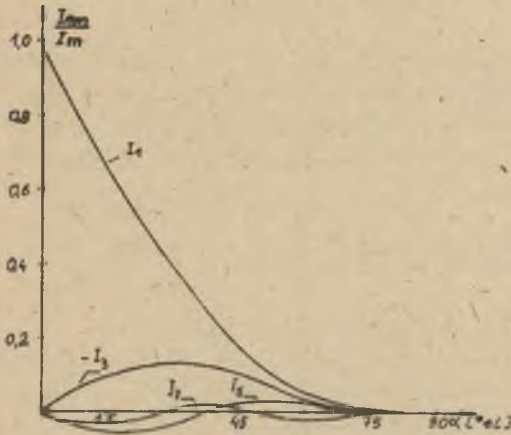
$$\frac{I_{nm}}{I_n} = \frac{4}{\pi} \left[\frac{\sin(n+1)\alpha}{2(n+1)} - \frac{\sin(n-1)\alpha}{2(n-1)} - \sin\alpha \frac{\cos n\alpha}{n} \right].$$

gdzie:

$$n = 2k+1, \quad k = 0,1,2,\dots$$

$$I_n = \frac{U_n}{\omega L}$$

Zależności te w formie graficznej przedstawiono na rys. 2. Z powyższego równania wynika, że w prądzie dławika występują tylko harmoniczne nieparzyste. Należy tu również zwrócić uwagę na fakt, że w prądzie przewodowym kompensatora nie występują harmoniczne, których numery są krotnościami trzech, ponieważ dławiki połączone są w trójkąt. Jak wynika z przedstawionych rozważań moc bierna wnoszona przez wyższe harmoniczne prądu jest niewielka w porównaniu z mocą bierną harmonicznej podstawowej i w praktycznych obliczeniach można ją pominąć, tym bardziej że udział ten zmniejsza się im



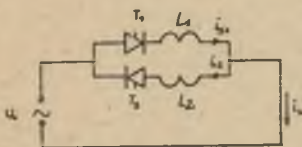
Rys. 2. Wykresy zależności $\frac{I_n}{I_m} = f(\alpha)$

większa jest moc zwrotna systemu elektroenergetycznego. W celu ewentualnego zmniejszenia zawartości wyższych harmonicznych

w prądzie kompensatora można w miejsce baterii kondensatorów zastosować odpowiednio dobrany filtr L,C wyższych harmonicznych.

2. Układ z tyrystorowym sterownikiem o rozdzielonych dławikach

Kompensator mocy biernej przedstawiony na rys. 1 można zmodyfikować, wprowadzając w miejsce indukcyjności L - połączonej szeregowo z przeciwnoległym układem dwu tyrystorów - układ przedstawiony na rys. 3. Składa się on z dwóch przeciwnoległe połączonych tyrystorów, przy czym szeregowo z każdym z nich połączony jest jeden dławik L1 i L2.



Rys. 3. Sterownik z rozdzielonymi dławikami

Jeśli napięcie zasilania ma przebieg $u = U_m \sin \omega t$ prąd wyjściowy sterownika i_L jest równy sumie prądów płynących przez dławiki i_{L1} i i_{L2} , przy czym:

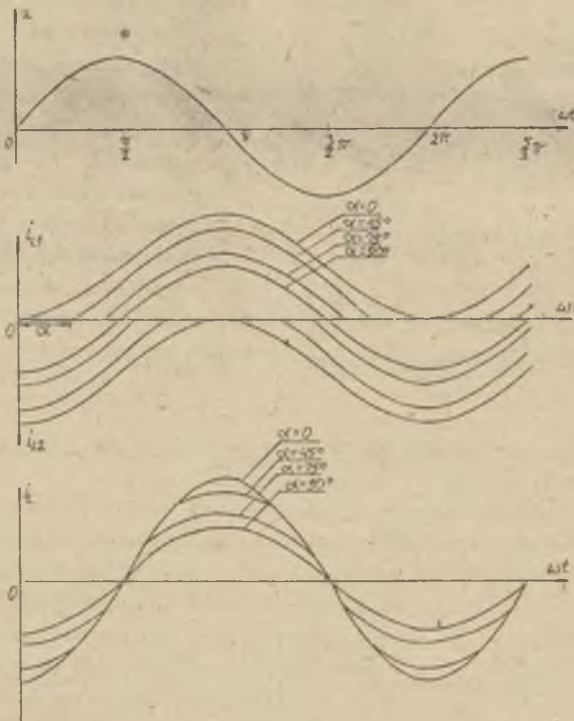
$$i_{L1} = \frac{U_m}{\omega L_1} (\cos \alpha - \cos \omega t) \quad \text{dla } i_{L1} \geq 0,$$

$$i_{L2} = \frac{U}{\omega L_2} (-\cos\alpha - \cos\omega t) \quad \text{dla } i_{L2} \leq 0.$$

Przy założeniu $L_1 = L_2 = L$, otrzymamy:

$$i_L(t) = \begin{cases} -2 I_m \cos\omega t & \text{dla } i_{L1} > 0 \text{ i } i_{L2} < 0 \\ I_m (\cos\alpha - \cos\omega t) & \text{dla } i_{L2} = 0 \\ I_m (-\cos\alpha - \cos\omega t) & \text{dla } i_{L2} = 0 \end{cases}$$

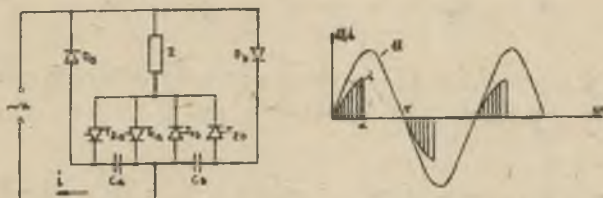
Wynika stąd, że prąd sterownika ma przebieg ciągły dla $0 \leq \alpha \leq \frac{\pi}{2}$, a dla $\frac{\pi}{2} \leq \alpha \leq \pi$ ma przebieg impulsowy, analogiczny jak w układzie z pkt. 1 (kąt wysterowania α liczony jest od przejścia napięcia przez 0). Na rys. 4 przedstawiono przebiegi napięcia i prądów i_{L1} , i_{L2} , i_L dla różnych kątów α z przedziału $0 \leq \alpha \leq \pi$.



Rys. 4. Przebiegi napięcia i prądów w sterowniku o rozdzielonych diodach

3. Tyrystorowe kompensatory mocy biernej z komutacją wymuszoną

Przekształtnik tyrystorowy zasilany z sieci prądu przemiennego może być wykorzystany jako kompensator mocy biernej, jeżeli zastosujemy komutację wymuszoną tyrystorów. Komutacja wymuszoną pozwala na załączanie i wyłączanie tyrystorów w dowolnej chwili czasowej, co pozwala na uzyskanie wyprzedzenia przebiegu napięcia zasilania przez pierwszą harmoniczną prądu.



Rys. 5. Schemat ideowy jednofazowego kompensatora mocy biernej z komutacją wymuszoną oraz przebiegi napięcia i prądu

Na rys. 5 przedstawiono schemat prostego jednofazowego kompensatora z komutacją wymuszoną. Zakładając, że obciążenie układu ma charakter rezystancyjny oraz że załączenie tyrystorów głównych następuje na początku każdego półokresu napięcia zasilającego prąd $i(t)$ można określić równaniem:

$$i(t) = \begin{cases} I_m \sin \omega t & \text{dla } 0 \leq \omega t < \alpha \\ 0 & \text{dla } \alpha < \omega t < \pi \end{cases}$$

gdzie:

$$I_m = \frac{U_m}{R}, \quad u(t) = U_m \sin \omega t,$$

α - kąt wyłączenia tyrystora głównego.

Rozwijając powyższą funkcję w szereg Fouriera otrzymujemy

$$i(t) = \frac{U_m}{2\pi R} \left[(2\alpha - \sin 2\alpha) \sin \omega t + (1 - \cos 2\alpha) \cos \omega t + \right. \\ \left. + \sum_{n=1}^{\infty} \frac{(n+1) \sin 2n\alpha - n \sin 2(n+1)\alpha}{n(n+1)} \sin(2n+1)\omega t + \right. \\ \left. + \sum_{n=1}^{\infty} \frac{(n+1) \cos 2n\alpha - n \cos 2(n+1)\alpha - 1}{n(n+1)} \cos(2n+1)\omega t. \right]$$

Z powyższej zależności wynika, że dla pierwszej harmonicznej prądu przekształtnik pobiera z sieci moc czynną

$$P = \frac{U^2}{2\pi R} (2\alpha - \sin 2\alpha)$$

oraz jest źródłem mocy biernej indukcyjnej

$$Q = -\frac{U^2}{2\pi R} (1 - \cos 2\alpha) = -\frac{U^2}{\pi R} \sin^2 \alpha.$$

Przeanalizujemy dla przykładu przypadek kompensacji trójfazowego odbiornika o mocy P_0 i współczynniku obciążenia $\cos \varphi_0$

$$i_0(t) = I_0 \sin(\omega t - \varphi_0) \quad \text{gdzie:} \quad I_0 = \sqrt{\frac{2}{3}} \frac{P_0}{U \cos \varphi_0}$$

dla kompensatora

$$i_k(t) = I_{km} \sin \omega t \quad \text{dla} \quad 0 < \omega t < \alpha,$$

gdzie

$$I_{km} = \frac{U_m}{R}.$$

Uwzględniając tylko pierwszą harmoniczną można napisać

$$R = \frac{3 U^2 (2\alpha - \sin 2\alpha)}{2\pi P_k}.$$

Wypadkowy prąd fazowy $i(t)$ układu odbiornik-kompensator jest równy

$$i(t) = \begin{cases} i_0(t) + i_k(t) = \sqrt{I_0^2 + I_k^2 + 2I_0 I_k \cos \varphi_0} \sin(\omega t - \varphi) & \text{dla} \quad 0 < \omega t < \alpha \\ i_0(t) & \text{dla} \quad \alpha < \omega t < \pi. \end{cases}$$

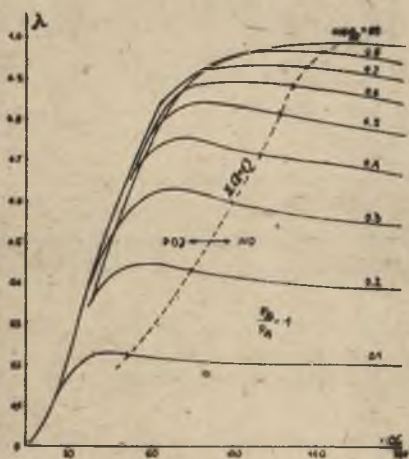
gdzie

$$\operatorname{tg} \varphi = \frac{I_0 \sin \varphi_0}{I_0 \cos \varphi_0 + I_k} = \left[\frac{1}{1 + \frac{2\pi P_k}{(2\alpha - \sin 2\alpha) P_0}} \right] \operatorname{tg} \varphi_0.$$

Po obliczeniu wartości skutecznej prądu $i(t)$ można obliczyć wypadkowy współczynnik mocy układu λ określony jako

$$\lambda = \frac{P_o + P_k}{3UI} = \left(1 + \frac{P_k}{P_o}\right) \left[\frac{1}{2\pi} \left[1 + \frac{4\pi^2 \cos^2 \varphi_o}{(2\alpha - \sin 2\alpha)^2} \left(\frac{P_k}{P_o}\right)^2 + \frac{4\pi \cos \varphi_o}{2\alpha - \sin 2\alpha} \left(\frac{P_k}{P_o}\right) \right] \left[2\alpha - \sin 2(\alpha - \psi) - \sin 2\psi + 2\pi - 2\alpha + \sin 2\varphi_o + \sin 2(\alpha - \varphi_o) \right] - \frac{1}{2} \cos \varphi_o \right]$$

Rodzinę funkcji $\lambda = f(\alpha)$ obliczonych dla założenia $\frac{P_k}{P_o} = 1$ i różnych wartości $\cos \varphi_o$ przedstawia rys. 6.



Rys. 6. Wykresy zależności $\lambda = f(\alpha)$

wykresów tych wynika, że dla każdego $\cos \varphi_o$ istnieją dwie optymalne wartości kąta α : jedna zapewniająca maksymalny współczynnik mocy λ i druga, przy której sumaryczna moc bierna układu odbiornik-kompensator jest równa zero.

Z zależności przedstawionych powyżej można również obliczyć wartość kąta α , przy którym sumaryczna moc bierna odbiornika i kompensatora jest równa zero

$$Q_o + Q_k = 0,$$

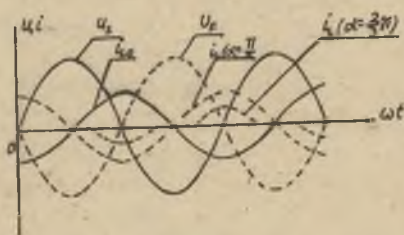
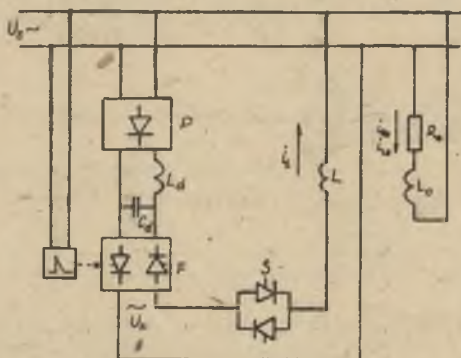
po podstawieniu odpowiednich zależności uzyskamy dla pierwszej harmonicznej

$$2 \frac{P_k}{P_o} \operatorname{ctg} \varphi_o = (2\alpha - \sin 2\alpha).$$

Rozwiązanie tego równania dla $\frac{P_k}{P_o} = 1$ i różnych wartości $\cos \varphi_o$ przedstawiono na rys. 6 linią przerywaną. Z

4. Kompensatory z komutacją wymuszoną i pośredniczącym obwodem prądu stałego

Na rys. 7 podano schemat blokowy kompensatora mocy biernej indukcyjnej z pośredniczącym obwodem prądu stałego. Układ składa się z: prostownika P, filtra $L_d - C_d$, falownika F, sterownika S i dławika L. Napięcie wyjściowe falownika u_F jest przesunięte w fazie względem napięcia sieci zasilającej u_s o kąt π . Zakładając, że obciążenie falownika jest czysto in-



Rys. 7. Schemat blokowy kompensatora z pośredniczącym obwodem prądu stałego oraz przebiegi prądów i napięć w układzie

dukcyjne, a kąt wysterowania α tyristorów sterownika S wynosi $\frac{\pi}{2}$, to prąd dławika i_L jest prądem sinusoidalnym opóźnionym o kąt $\frac{\pi}{2}$ względem napięcia falownika. Oznacza to, że prąd i_L wyprzedza o kąt $\frac{\pi}{2}$ napięcia sieci zasilającej, czyli że ma charakter pojemnościowy.

Regulację skutecznej wartości prądu dławika i_L można uzyskać poprzez:

- regulację napięcia stałego zasilającego falownik (poprzez zastosowanie prostownika sterowanego),
- przez zmianę kąta wysterowania tyristorów sterownika w zakresie od $\frac{\pi}{2}$ do π .

Pracę kompensatora ilustrują przebiegi napięć i prądów przedstawione na rys. 7.

LITERATURA

- [1] GYUGGI I., OTTO R.A., PUTMAN T.H.: Principles and application of static, thyristor-controlled shunt compensators. IEEE - Transactions, 1978.

- [2] ERLICKI M., EMANNUEL-EIGELES A.: New Aspects Power Factor Improvement (część I i II). IEEE - Transactions, 1968.
- [3] Materiały na krajową konferencję napędu elektrycznego i energoelektroniki. Kraków 1977.
- [4] TUNIA H., WINIARSKI B.: Podstawy Energoelektroniki. WNT, Warszawa 1980.
- [5] DĄBROWSKI W., MARKIEWICZ H.: Kompensacja mocy biernej obciążeń szybkozmiennych przy występowaniu przebiegów odkształconych prądu i napięcia. Przegląd Elektrotechniczny nr 3, 1978.

Wpłynęło do Redakcji w maju 1980

Recenzent:

Doc. dr Zbigniew Białkiewicz

ТИРИСТОРНЫЕ СХЕМЫ ДЛЯ БЫСТРОЙ КОМПЕНСАЦИИ РЕАКТИВНОЙ МОЩНОСТИ

Р е з ю м е

В работе описаны управляемый статический источник реактивной мощности с тиристорно управляемыми реакторами, а также тиристорные компенсаторы с внутренней коммутацией. Представлены основные зависимости, описывающие их работы и условия компенсации реактивной мощности.

THE THYRISTOR-CONTROLLED DEVICES FOR REACTIVE POWER COMPENSATION

S u m m a r y

The paper describes and analyses the thyristor-controlled devices for reactive power compensation, particularly the static, thyristor-controlled inductor type compensator and devices with controlled firing and execution angles of the thyristors.